

Вычислительно-эффективная реализация дискретного преобразования Фурье

А. Ю. Савинков, email: savinkov_a_yu@sc.vsu.ru

Федеральное государственное бюджетное образовательное учреждение высшего образования «Воронежский государственный университет» (ФГБОУ ВО «ВГУ»)

***Аннотация.** В данной работе предложена вычислительно-эффективная программная реализация на C++ дискретного преобразования Фурье для выборок произвольного размера.*

***Ключевые слова:** DFT, FFT, Chirp Z-transform*

Введение

Дискретное преобразование Фурье (ДПФ) находит широкое применение при анализе и обработке сигналов как при моделировании так и при реализации систем цифровой обработки сигналов. Сложность вычисления ДПФ $O(N^2)$, где N - длина выборки. При больших N использование ДПФ может существенно сказаться на скорости вычислений. Известны алгоритмы быстрого преобразования Фурье (БПФ), например, алгоритм Кули-Тьюки [1, 2] со сложностью $O(N \cdot \log N)$, но такие алгоритмы могут работать только с определенными размерами выборок, например, $2^n, n \in \mathbb{Z}_0$, где \mathbb{Z}_0 - множество целых неотрицательных чисел. Для эффективного вычисления ДФТ по выборкам произвольной длины может быть использован чирп-алгоритм Блюстейна [2, 3]. Чирп-алгоритм (chirp Z-transform) как обобщенный метод вычисления ДФТ был предложен в 1968 году [3] и широко описан в литературе, например [2], но все еще относительно мало распространен среди специалистов в цифровой обработке сигналов. Чирп-алгоритм имеет сложность $O(N \cdot \log N)$, но фактически требует выполнения трех БПФ для выборки длиной $L = 2^{\lceil 1 + \log_2 N \rceil}$, где $\lceil \cdot \rceil$ обозначает округление вверх, т.е. L - это удвоенная длина исходной выборки, округленная вверх до ближайшей целой степени двойки. Также требуется выполнить несколько серий комплексных умножений длиной N или L . Поэтому даже при формально одинаковом порядке сложности, фактическое время выполнения чирп-алгоритма примерно на порядок больше времени выполнения традиционного БПФ для той же длины выборки. Поэтому при практической реализации в программах целесообразно использовать традиционные варианты БПФ для тех размеров выборок, которые ими поддерживаются, и переходить к чирп-алгоритму для остальных размеров выборок.

В данной работе предлагается вычислительно-эффективная реализация ДПФ на языке C++, использующая БПФ, если это возможно, и чирп-алгоритм в остальных случаях. Для расширения множества длин выборок, поддерживаемых БПФ, помимо традиционного алгоритма для выборки 2^n реализованы БПФ для выборок $3 \cdot 2^n$ и $5 \cdot 2^n$, где $n \in \mathbb{Z}_0$. Кроме того, используются кэш для хранения предварительно вычисленных справочных таблиц (lookup tables, LUT) значений комплексных экспонент и перестановок, что дополнительно повышает быстродействие. Несмотря на наличие множества готовых реализаций БПФ и ДПФ в составе различных библиотек (например, FFTW), во многих случаях для использования в программах удобнее иметь простую переносимую реализацию в виде единственного файла, не требующую установки в систему дополнительно ПО, поэтому предлагаемая еще одна реализация ДПФ представляется актуальной.

1. Алгоритмы БПФ

Для реализации БПФ обычно используется алгоритм Кули-Тьюки. Основная идея алгоритма состоит в разбиении исходной выборки отсчетов сигнала на несколько выборок меньшего размера, для которых нужно вычислить ДПФ, а затем объединить полученные результаты. Поскольку сложность вычисления ДПФ $O(N^2)$, то суммарная сложность вычисления нескольких ДПФ меньшего размера будет ниже, чем при прямом вычислении исходного ДПФ.

Рассмотрим выборку сигнала, содержащую четное число отсчетов, тогда k -ый отсчет спектра сигнала, $k \in 0, N$, выражается формулой (1)

$$S_k = \sum_{n=0}^{N-1} s_n \cdot W^{n \cdot k} \quad (1)$$

где $W = \exp -j \cdot \frac{2\pi}{N}$

Далее разделим исходную выборку сигнала на четные и нечетные отсчеты и преобразуем (1) к виду (2)

$$\begin{aligned} \sum_{n=0}^{N-1} s_n \cdot W^{n \cdot k} &= \sum_{n=0}^{\frac{N}{2}-1} s_{2 \cdot n} \cdot W^{2 \cdot n \cdot k} + \sum_{n=0}^{\frac{N}{2}-1} s_{2 \cdot n+1} \cdot W^{2 \cdot n+1 \cdot k} = \\ &= \sum_{n=0}^{\frac{N}{2}-1} s_{2 \cdot n} \cdot W^{2 \cdot n \cdot k} + W^k \cdot \sum_{n=0}^{\frac{N}{2}-1} s_{2 \cdot n+1} \cdot W^{2 \cdot n \cdot k} \end{aligned} \quad (2)$$

Заметим теперь, что при последовательном переборе значений k в диапазоне $0, N$ будут получены отсчеты комплексной экспоненты

$W^{2 \cdot n \cdot k}$ для двух полных периодов. Следовательно, если $l \in [0, \frac{N}{2}]$, то $\sum_{n=0}^{\frac{N}{2}-1} s_{2 \cdot n} \cdot W^{2 \cdot n \cdot l} = \sum_{n=0}^{\frac{N}{2}-1} s_{2 \cdot n} \cdot W^{2 \cdot n \cdot l + \frac{N}{2}}$ и в выражении (2) суммы можно посчитать только для половины индексов k .

Заметим также, что $W^{l + \frac{N}{2}} = -W^l$. Действительно, $W^{l + \frac{N}{2}} = \exp -j \cdot \frac{2\pi}{N} \cdot l + \frac{N}{2} = \exp -j \cdot \frac{2\pi}{N} \cdot l \cdot \exp -j \cdot \frac{2\pi}{N} \cdot \frac{N}{2} = \exp -j \cdot \frac{2\pi}{N} \cdot l \cdot \exp -j \cdot \pi = -\exp -j \cdot \frac{2\pi}{N} \cdot l = -W^l$.

На рис. 1 приведена блок-схема базового элемента алгоритма БПФ, состоящего в разделении исходной выборки на два фрагмента, независимом вычислении ДПФ для каждого фрагмента и объединении результатов для получения полного спектра исходной выборки.

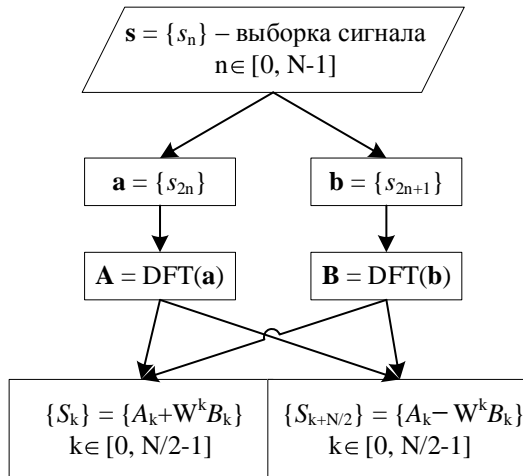


Рис. 1. Базовый элемент алгоритма БПФ

Алгоритм можно рекурсивно применить к выборкам четных и нечетных отсчетов и так далее. Если исходная длина выборки N равна $2^n, n \in \mathbb{Z}_0$, то рекурсивное деление выборок можно продолжить вплоть до выборок из одного отсчета, для которых ДПФ тривиально. При этом результирующая сложность вычислений будет $O N \cdot \log N$.

Если исходная длина выборки $N = k \cdot 2^n, n \in \mathbb{Z}_0$, то рекурсивное деление выборок можно продолжить вплоть до выборок, состоящих из k отсчетов. Оптимизация процедуры вычисления ДПФ для таких выборок

из k отсчетов должна быть выполнена вручную. Например, в [4] приведены алгоритмы вычисления ДПФ для $k = 3$ и $k = 5$.

Фрагмент кода программы для вычисления ДПФ по трем отсчетам сигнала приведен в листинге 1. Исходные данные содержатся в массиве y , результат сохраняется в том же массиве на месте исходных данных.

Листинг 1

```
static const T k = -sin(2.0 * std::numbers::pi / 3.0);
constexpr std::complex<T> J = std::complex<T>(0, 1);
std::complex<T> a = y[1] + y[2];
std::complex<T> t1 = y[0] - a / 2.0;
std::complex<T> t2 = (y[1] - y[2]) * k;
std::complex<T> b = J * t2;
y[0] += a;
y[1] = t1 + b;
y[2] = t1 - b;
```

Код программы для вычисления ДПФ по пяти отсчетам сигнала существенно сложнее и не приводится здесь (полный исходный код для предлагаемой реализации ДПФ доступен по ссылке [5]), отметим только, что в [4] имеется опечатка. Должно быть (обозначения исходной статьи сохранены): $k_{11} = \sin 2\pi 5 + \sin 4\pi 5$, $k_{12} = -\sin 2\pi 5 + \sin 4\pi 5$, $B_1 = d_1 + j \cdot d_4$, $B_4 = d_1 - j \cdot d_4$.

Алгоритм БПФ проще всего реализовать с использованием рекурсивных вызовов функций, но такой подход заведомо не оптимальный, прежде всего из-за необходимости копировать фрагменты выборки при ее делении в новые массивы перед рекурсивным вызовом функции вычисления ДПФ. Более эффективное решение состоит в том, чтобы перед вычислением ДПФ переставить элементы исходного массива так, чтобы все последующие вычисления выполнялись бы без рекурсии и копирования данных за несколько последовательных проходов по переупорядоченному массиву исходных данных, при этом результат вычислений заменит исходные данные в массиве.

Например, рассмотрим выборку из 16 элементов, последовательно пронумерованных от 0 до 15. Разделим исходную выборку на две выборки, содержащие четные и нечетные отсчеты исходной выборки соответственно и расположим эти выборки последовательно. Затем полученные выборки разделим еще раз и запишем последовательно уже 4 фрагмента. Продолжим деления и перестановки, пока не получим выборки из одного элемента, как показано в таблице 1.

Таблица 1

0	1	2	3	4	5	6	7	8	9	10	11	12	13	14	15
0	2	4	6	8	10	12	14	1	3	5	7	9	11	13	15

0	4	8	12	2	6	10	14	1	5	9	13	3	7	11	15
0	8	4	12	2	10	6	14	1	9	5	13	3	11	7	15
0	8	4	12	2	10	6	14	1	9	5	13	3	11	7	5

Последняя строка таблицы 1 определяет требуемые перестановки (числа в строках таблицы соответствуют индексам элементов в исходном массиве).

Поскольку после последнего разделения получены одноэлементные выборки, то ДФГ для них тривиально – результат просто равен исходным значениям. Поэтому можно сразу попарно объединить результаты одноточечных ДПФ и получить 8 двухэлементных спектров, затем попарно объединить их и т.д., пока не будет получен требуемый 16 элементный спектр исходной выборки.

Перестановка элементов исходного массива сводится к обмену значениями между элементами массива i и j . Обозначим такие обмены значениями как $i \leftrightarrow j$. Для рассматриваемого примера должны быть сделаны следующие обмены, включая тривиальные: $0 \leftrightarrow 0$, $1 \leftrightarrow 8$, $2 \leftrightarrow 4$, $3 \leftrightarrow 12$, $5 \leftrightarrow 10$, $6 \leftrightarrow 6$, $7 \leftrightarrow 14$, $9 \leftrightarrow 9$, $11 \leftrightarrow 13$, $15 \leftrightarrow 15$. При внимательном рассмотрении может быть выявлена закономерность перестановок. Все 16 значений индексов (от 0 до 15) могут быть представлены 4-битными двоичными числами от 0000_2 до 1111_2 . При этом в индексах i и j пар перестановок эти двоичные биты всегда записаны в обратном порядке. Действительно $1\ 0001_2 \leftrightarrow 8\ 1000_2$, $2\ 0010_2 \leftrightarrow 4\ 0100_2$, $3\ 0011_2 \leftrightarrow 12\ 1100_2$ и т.д. Такое преобразование числа называется двоично-инверсным преобразованием. Тривиальные перестановки ($0 \leftrightarrow 0$, $6 \leftrightarrow 6$, $9 \leftrightarrow 9$ и $15 \leftrightarrow 15$) также подходят под это правило ввиду симметричности двоичной записи соответствующих значений ($6_{10} = 0110_2$, $9_{10} = 1001_2$), поэтому двоично-инверсное преобразование их не меняет. Многие сигнальные процессоры имеют аппаратную поддержку режима адресации, позволяющего обращаться к элементам массива в соответствии с двоично-инверсным преобразованием индекса. При программной реализации БПФ на процессорах общего назначения двоично-инверсное преобразование может быть сделано явно с использованием битовых операций. На процессорах или в языках программирования, которые не поддерживают явные битовые операции, можно использовать алгоритм Рэйдера [6], который использует только операции сложения, вычитания и деления на два.

Для БПФ длиной $k \cdot 2^n$, $n \in \mathbb{Z}_0$ двоично-инверсное преобразование должно применяться к номерам блоков из k отсчетов. Блоки

последовательно нумеруются в выходном массиве (после перестановки). Пары индексов для обмена значений вычисляются по формуле (3)

$$i + j \cdot \frac{N}{k} \leftrightarrow k \cdot i + j, \quad i \in 0, \frac{N}{k}, j \in 0, k \quad (3)$$

где $N = k \cdot 2^n, n \in \mathbb{Z}_0$; ι – двоично-инверсное преобразование от i . Но теперь перестановки не будут независимыми. Например, рассмотрим выборку из $N = 6$ элементов и $k = 3$. По формуле (3) получаем следующую цепочку перестановок: $0 \leftrightarrow 0, 2 \leftrightarrow 1, 4 \leftrightarrow 2, 1 \leftrightarrow 3, \dots$ Если просто попарно переставлять элементы входного массива, то перестановки $2 \leftrightarrow 1$ и $1 \leftrightarrow 3$ конфликтуют, и таких конфликтов будет довольно много. Поэтому нужно или использовать второй массив для переставленных значений или не выполнять перестановку вообще, а использовать косвенную индексацию элементов массива через таблицу перестановок.

Предлагаемая реализация ДПФ ориентирована на персональный компьютер и не предназначена для использования во встраиваемом ПО систем цифровой обработки сигналов. В этой связи предполагается наличие достаточного объема свободной памяти и для повышения производительности предпочтительно использование второго массива для переставленных значений.

2. Чирп-алгоритм Блюстейна

В выражении (1) заменим произведение $n \cdot k$ тождественным выражением $n^2 + k^2 - n - k^2$, тогда

$$S_k = \prod_{n=0}^{N-1} s_n \cdot W^{n \cdot k} = W^{\frac{k^2}{2} \cdot N-1} \cdot \prod_{n=0}^{N-1} s_n \cdot W^{\frac{n^2}{2}} \cdot W^{\frac{-n-k^2}{2}} \quad (4)$$

Введем обозначения $g_n = s_n \cdot W^{\frac{n^2}{2}}$ и $v_n = W^{\frac{-n-k^2}{2}}$, тогда исходя из выражения (4) ДПФ от выборки s_n может быть вычислено на основе свертки последовательностей $\mathbf{g} = g_n$ и $\mathbf{v} = v_n$ (5)

$$\mathbf{c} = \mathbf{g} \otimes \mathbf{v}; S_k = W^{\frac{k^2}{2}} \cdot c_k \quad (5)$$

Свертка может быть вычислена на основе теоремы о свертке с использованием БПФ. Поскольку длина последовательностей \mathbf{g} и \mathbf{v} равна N , то длина их дискретной свертки составит $2 \cdot N - 1$ элементов и для ее вычисления можно использовать БПФ с размером выборки $L = 2^{\lceil \log_2 2 \cdot N - 1 \rceil}$, т.е. округлить значение $2 \cdot N - 1$ вверх до числа, выражаемого целой степенью двойки. При этом последовательности \mathbf{g} и \mathbf{v} также должны быть расширены до длины L . Последовательность \mathbf{g} может быть просто дополнена нулями в соответствии с (6)

$$g_n = \begin{cases} s_n \cdot W^{\frac{n^2}{2}}, n < N \\ 0, N \leq n < L \end{cases} \quad (6)$$

Поскольку при вычислении свертки $n - k$ может принимать отрицательные значения, последовательность $v_n = W^{\frac{n^2}{2}}$ должна быть расширена и в область отрицательных значений n , но поскольку теорема о свертке применима только для периодических последовательностей и в рассматриваемом случае период равен L , то $v_{-n} = v_{L-n}$ для $n \neq 0$, тогда

$$v_n = \begin{cases} W^{\frac{n^2}{2}}, n < N \\ 0, N \leq n \leq L - N \\ W^{\frac{L-n^2}{2}}, L - N < n < L \end{cases} \quad (7)$$

Окончательно получаем следующую последовательность действий для вычисления ДПФ произвольного размера:

- вычислить $L = 2^{\log_2 2 \cdot N - 1}$;
- сформировать расширенные последовательности g_n и v_n по формулам (6) и (7) соответственно;
- вычислить $\mathbf{r} = \text{IFFT}_L \text{FFT}_L \mathbf{g} \cdot \text{FFT}_L \mathbf{v}$;
- вычислить значения отсчетов спектра $S_k = r_k \cdot W^{\frac{k^2}{2}}, k \in 0, N$.

3. Вычисление обратного ДПФ

Обратное ДПФ может быть вычислено через прямое ДПФ по формуле (8)

$$\text{IDFT } \mathbf{S} = \frac{1}{N} \cdot \text{conj } \text{DFT } \text{conj } \mathbf{S} \quad (8)$$

где функция $\text{conj} \cdot$ означает комплексное сопряжение. Действительно, по определению обратного ДПФ

$$x_k = \frac{1}{N} \cdot \sum_{n=0}^{N-1} S_n \cdot W^{n \cdot k} = \frac{1}{N} \cdot \sum_{n=0}^{N-1} S_n^* \cdot W^{n \cdot k} \quad , \quad k \in 0, N \quad (9)$$

Таким образом, при наличии реализации прямого ДПФ, всегда можно с минимальными вычислительными издержками получить обратное ДПФ, что и используется в предлагаемом решении.

4. Программная реализация

Исходный код предлагаемой реализации ДПФ доступен по ссылке [5]. Основой реализации является функция `fft`, определение которой приведено в листинге 2.

```

template <size_t Radix>
void fft
(
  std::vector<std::complex<COMPLEX_TYPE>>& x,
  const fft_lut_t<Radix>& lut,
  std::function<void(std::complex<COMPLEX_TYPE>*)>
  base_transform
)

```

Вектор `x` при вызове функции содержит отсчеты исходной выборки, а после завершения функции – отсчеты спектра, `lut` - справочная таблица (будет описана далее), `base_transform` - базовое - точечное преобразование (k соответствует параметру шаблона `Radix`). В реализацию включены базовые преобразования для `Radix` 2, 3 и 5. При необходимости функции базового преобразования для других `Radix` могут быть добавлены без изменения кода функции `fft`.

Параметр шаблона `COMPLEX_TYPE` может быть `float`, `double` или `long double` и задан через макроопределение `DPF_COMPLEX_TYPE`, например, `#define DPF_COMPLEX_TYPE float`. Если макрос `DPF_COMPLEX_TYPE` не определен, то используется значение `double`.

Функция `fft` выполняет двоично-инверсную перестановку входных данных, выполняет базовые преобразования (вызывает `base_transform`) и последовательно объединяет полученные результаты до получения целевого спектра.

При наличии в компьютере нескольких логических процессоров вычисления могут выполняться параллельно. Поскольку организация параллельных вычислений связана с накладными расходами, выполнять параллельные вычисления имеет смысл только при достаточно большом размере выборки. Порог размера выборки для одного логического процессора, при превышении которого запускаются параллельные вычисления, определяется в зависимости от размерности базового преобразования и может быть задан с использованием макроопределений `DFT_RADIX_2_MULTITHREAD_THRESHOLD`, `DFT_RADIX_3_MULTITHREAD_THRESHOLD` и `DFT_RADIX_5_MULTITHREAD_THRESHOLD`. По умолчанию установлены значения 8192, 6144 и 5120 соответственно.

Как показали измерения, использование справочных таблиц, хранящих заранее вычисленные значения комплексных экспонент и таблицы перестановок, сокращает время выполнения преобразования более, чем в 2 раза. Определение справочной таблицы приведено в листинге 3.


```

// базовая справочная таблица (lookup table, LUT)
// хранит отсчеты комплексной экспоненты
// используется как для FFT так и для chirp Z-transform
class lut_t
{
public:

    std::vector<std::complex<COMPLEX_TYPE>> w;

    virtual void init(size_t len) = NULL;
};

// справочная таблица для FFT
// добавляет таблицу перестановок и
// данные для параллельных вычислений
template <size_t Radix>
class fft_lut_t : public lut_t
{
public:

    std::vector<size_t> permutations;

    size_t n;

#ifdef USE_MULTITHREAD
    size_t n_cpu;
    size_t per_cpu_n;
    size_t per_cpu_block_size;
#endif

    size_t radix() { return Radix; }
    size_t radix() const { return Radix; }

    // инициализация зависит от Radix
    virtual void init(size_t len);
};

// справочная таблица для ДПФ на основе
// chirp Z-преобразования
class dft_chirp_z_lut_t : public lut_t
{
public:

    virtual void init(size_t len);
};

```

Справочные таблицы хранятся в кэше справочных таблиц, ключом для поиска таблицы в кэше является размерность ДПФ. Для каждого варианта Radix должен использоваться собственный кэш. Реализация кэша приведена в листинге 4.

```

// кэш справочных таблиц
template <class T>
class lut_cache_t
{
public:

    // возвращает ссылку на справочную таблицу из кэша
    // при отсутствии в кэше нужной таблицы
    // создает новую таблицу и заносит ее в кэш
    const T& get_lut(size_t len)
    {
        auto lut_entry = lut.find(len);
        if (lut_entry == lut.end())
        {
            auto& new_lut = lut[len];
            new_lut.init(len);

            return new_lut;
        }
        return lut_entry->second;
    }

protected:

    std::map<size_t, T> lut;
};

```

Чирп-алгоритм реализуется функцией `dft_chirp_z`, прототип которой приведен в листинге 5.

```

void dft_chirp_z
(
    std::vector<std::complex<COMPLEX_TYPE>>& x,
    const dft_chirp_z_lut_t& lut,
    const fft_lut_t<2>& fft_lut
)

```

Поскольку чирп-алгоритм реализуется на основе БПФ, используются две справочные таблицы. Как и при реализации БПФ, при больших выборках и при наличии в компьютере нескольких логических процессоров вычисления в `dft_chirp_z` выполняются параллельно за счет расщепления циклов. Порог перехода к параллельным вычислениям в `dft_chirp_z` может быть задан с помощью макроопределения `DFT_CHIRP_Z_MULTITHREAD_THRESHOLD` (по умолчанию 16384 отсчетов на один логический процессор).

Для удобства использования ДПФ вне зависимости от размерности и типа базового преобразования реализована функция-обертка `dft`, определение которой приведено в листинге 6.

Листинг 6

```
void dft(std::vector<std::complex<COMPLEX_TYPE>>& x)
```

Функция `dft` скрывает от пользователя использование кэшей справочных таблиц и выбор типа преобразования. По сути, это одна из двух функций (вторая `idft`), которые вызывают пользователи в своих программах. Таким образом, использование предлагаемой реализации ДПФ предельно простое: достаточно подключить файл `dft.h` (`#include "dft.h"`) и использовать две функции – `dft` и `idft`.

5. Оценки производительности

Оценка производительности выполнялась экспериментально на ноутбуке `Lenovo IdeaPad S340` с процессором `Intel(R) Core(TM) i5-1035G1` (8 логических процессоров) и объемом памяти 8 Гб. Использовался компилятор `MSVC` для платформы `x64`. Среднее время выполнения одного преобразования в зависимости от длины выборки показано на рис. 2.

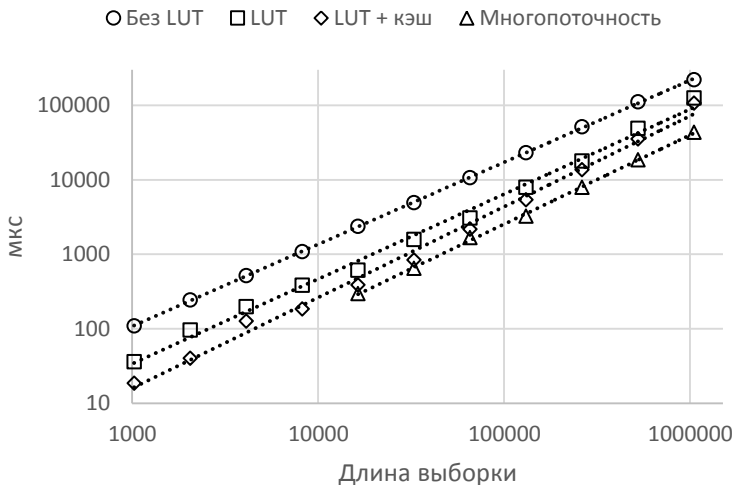


Рис. 2. Среднее время выполнения ДПФ

Измерения подтвердили эффективность каждого из предложенных механизмов повышения производительности: использование справочных таблиц (LUT), использование кэша справочных таблиц и использование параллельных вычислений. Измеренный выигрыш в производительности составил 5-8 раз.

Заключение

Предложена вычислительно-эффективная переносимая реализация прямого и обратного ДПФ на языке C++, не привязанная к аппаратной платформе или операционной системе и не требующая инсталляции дополнительных программных пакетов. Исходный код доступен по ссылке [5]. Измерения подтвердили высокий уровень производительности предложенной реализации.

Список литературы

1. Cooley J.W. An Algorithm for the Machine Calculation of Complex Fourier Series / J.W. Cooley, J.W. Tukey // *Mathematics of Computation* – 1965 – Vol. 19, No. 90, pp. 297–301.
2. Блейхут Р. Быстрые алгоритмы цифровой обработки сигналов: Пер. М.: Мир, 1989. 448 с., ил. с англ.
3. Bluestein L.I. A Linear Filtering Approach to the Computation of Discrete Fourier Transform / L.I. Bluestein // *IEEE Transactions on Audio and Electroacoustics* – 1970 – Vol. 18, No. 4, pp. 451-455.
4. Löfgren J. On hardware implementation of radix 3 and radix 5 FFT kernels for LTE systems / J. Löfgren, P. Nilsson // 2011 NORCHIP, Lund, Sweden – 2011 – pp. 1-4.
5. Исходный код программы ДПФ [Электронный ресурс]: облачное хранилище – Режим доступа: <https://drive.google.com/file/d/14JHTbEXuRUUo0noqvoQooXaumc5AMm1M/view?usp=sharing>
6. Д. Рабинер, Б. Гоулд. Теория и применение цифровой обработки сигналов, М.: Мир, 1978, 848 с.